

Autorenverzeichnis/Author Index

Abdelrazek F. M., s. Ibrahim N. S.

Abed N. M., Hafez E. A. A., Ibrahim N. S., Mustafa M. E. Studies on 3,5-diaminopyrazole derivatives, 223

Abo-Doma R. A., s. Gomaa E. A.

Afsah E. M., Hammouda M., Hamama W. S. Pictet-Spengler reactions of tryptamine and tryptophan with cycloalkanones and ketonic Mannich bases, 851

Ahluwalia V. K., Singh D., Singh R. P. A facile synthesis of 4-aryl-2H-1-benzopyran-2-ones, 869

Ahmadi M. T., s. Buchbauer G.

Alder L., s. Gloyna D.

Allen A. A., Kurzer F. Diisophorone and related compounds, XV. 2,7-Epoxydiisophoranes: Oxirane cleavage by Grignard reagents, 777

Al-Nimri A. F., s. Dukov I. L.

Alt H. G., s. Lin W. O.

Angrick M. Notiz zur Darstellung von N-substituierten Aminoglycerinaldehyden, 645

Angrick M., Rewicki D. N-Acylierung von Aminosäuren mit Glycerinsäure, 377

Atrey K., s. Singh P. P.

Awasthi A. K., Upadhyay S. K. Kinetics of the Ru(III) catalyzed oxidation of formaldehyde and acetaldehyde by alkaline hexacyanoferrate(III), 729

Azeredo Figueira J. A. de, s. Lin W. O.

Aziz S. I., s. Ibrahim N. S.

Baraldi C., s. Beggiato G.

Baran E. J., s. Cabello C. I.

Bassett W., Jr., s. Xi F.

Berner H., Vyptiel H., Schulz G., Fischer G. Chemie der Pleuromutiline, 10. Mitt.: 1,2-Transposition der Carbonylfunktion im Cyclopentanone Teil des tricyclischen Gerüstes, 1165

Bernhard H., Kratky C., Reischl W., Zbiral E. Zur Stereochemie der Vitamin D3-Epoxide. Röntgenstrukturanalyse einer 5,6,7,8,10,19-Triepoxidverbindung, 1221

Bernhard H., s. Reischl W.

Binder H., s. Bonn G.

Bjelica L., s. Jovanovic L.

Blasi-Rabassa A., s. Wendelin W.

Blumenthal T., s. Wannagat U.

Bobleter O., s. Bonn G.

Böggel H., s. Müller A.

Böhmer V., Schneider F., Fukuyama K., Fujii S. Cyclic esters of aliphatic diacids with pyrocatechol and hydroquinone, 1419

Bonn G., Binder H., Leonhard H., Bobleter O. The alkaline degradation of cellobiose to glucose and fructose, 961

Brandstetter H. H., s. *Zbiral E.*

Breitenfelder-Manske H., *Kohler F.* The second virial coefficient of 3-center Lennard-Jones molecules and its relation to 1- and 2-center molecules, 1247

Buchbauer G., *Heneis V. M.*, *Krejci V.*, *Talsky C.*, *Wunderer H.* Über eine neue Synthese von Desmethylambraoxid, 1345

Buchbauer G., *Pernold W.*, *Ittner M.*, *Ahmadi M. T.*, *Dobner R.*, *Reidinger R.* Zur Synthese von isocamphananalogem Ephedrin. Synthesen in der Isocamphanreihe, 26. Mitt., 1209

Buchbauer G., s. *Vitek R.*

Budzikiewicz H., *Taraz K.*, *Münster H.*, *Wasgesian F.*, *Heucher R.* Besonderheiten beim massenspektroskopischen Fragmentierungsschalten von alkylsubstituierten Porphyrin- und Phthalocyanin-Metall(II)-Komplexen, 525

Cabello C. I., *Baran E. J.* Spektroskopisches und thermisches Verhalten von $K_4H_2[S_2I_2O_{14}]$, 591

Casalbore G., s. *Beggiato G.*

Chetkarov M. L., *Hatour F. D.*, *Kolev D. N.* Kinetics and mechanism of the hydrolysis of sodium carboxymethyl-cellulose (Na-CMC) by a cellulase complex, 1433

Ciepliński P., s. *Kowalska A.*

Claret J., *Muller C.*, *Ribó J. M.*, *Serra X.* On the electrochemical behaviour of 5(1*H*)-pyromethenones and 3,4-dihydro-5(1*H*)-pyromethenones (Short commun.), 681

Claus P. K., *Jäger E.* Thiethan-1-*N*-arylimide und ihre Umlagerung zu *N*-Aryl-1,2-thiazolidinen, 1153

Claus P. K., *Jäger E.*, *Setzer A.* Ortho-Formylierung von Anilinen durch Umlagerung von Bis(methylthio)-methan-*S*-(*N*-aryl)imiden, 1017

Claus P. K., *Setzer A.* Ketendithioacetal-*S*-imide (Kurze Mitt.), 413

Claus P. K., *Silbernagel W.*, *Franek W.*, *Rieder W.* Alkyl- und Arylsulfensäureanilide durch Cycloeliminierung von Propen aus *N*-Aryl-*S*-isopropylsulfimiden, 841

Costa J. M., s. *Doménech J.*

Csuk R. Synthese von enantiomerenreinem (2*R*)-1-Oxo-2-methyl-oxazin (Kurze Mitt.), 677

Czugler M., s. *Messmer A.*

Dobner R., s. *Buchbauer G.*

Doménech J., *Costa J. M.* Effect of ionic solvation on the polarographic behaviour of halide ions in *N,N*-dimethylformamide-water mixtures, 43

Domonkos L., *Ratkovich F.* Determination of the equilibrium constants of association from IR studies in the acetone-chloroform system, 437

Dukov I. L., *Al-Nimri A. F.*, *Kassabov G. I.* Temperature effect on the solvent extraction of some lanthanides with thenoyltrifluoroacetone, 737

Effenberger H. $Cu_2(SO_4)_2$, Dolerophanite: Refinement of the crystal structure, with a comparison of $[OCu(II)_4]$ tetrahedra in inorganic compounds, 927

Effenberger H., *Pertlik F.* Crystal structure of $NaCu_2S_3$, 921

Egerbacher J., s. *Ongania K.-H.*

Eichberger G., Faber K., Griengl H.
Reduktion 4-substituierter Acetophenone mittels Hefe (Kurze Mitt.), 1233

El-Badawi M., s. Öhler E.

Elbanowski M., Lis S., Makowska B., Konarski J. Fluorescence of lanthanide(III) complexes in aqueous solutions. The influence of pH and solution composition, 901

El-Gyar S. A., s. Mahmoud M. R.

Elnagdi M. H., s. Ibrahim N. S.

Engewald W., s. Wennrich L.

Faber K., s. Eichberger G.

Fabian J., Junek H. Zur Farbigkeit der Pseudooxo-Kronkonsäurebisamide, 625

Fabian W. Theoretische Untersuchungen zur Basizität substituierter Pyridine, 371

Falk H., Flödl H. Beiträge zur Chemie der Pyrrolpigmente, 64. Mitt.: 2,3,7,8,12,13,17,18,22,23-Decamethyl-1,24,25,29-tetrahydro-27H-penta-pyrrin-1,24-dion, der erste Vertreter linearer Pentapyrrole. Darstellung und Struktur im gelösten Zustand, 1177

Falk H., Grubmayr K., Müller N., Vormayr G. Beiträge zur Chemie der Pyrrolpigmente, 59. Mitt.: Phytochrommodellstudien. Ein ^{13}C -NMR-Kriterium für die Tautomerie am Methenfragment (N 22—N 23) von Bilatrien-abc und 2,3-Dihydrobiliatrien-abc, 53

Falk H., Gsaller H., Hubauer E., Müller N. Beiträge zur Chemie der Pyrrolpigmente, 61. Mitt.: Phytochrommodellstudien. Absorptionspektren und strukturelle Aspekte von 2,3-

Dihydrobiliatriene-abc aus der Sicht eines semiempirischen quantenchemischen Verfahrens (PPP-SCF-LCAO-MO-Cl), 939

Falk H., Kapl G., Medinger W. Zur Chemie der Pyrrolpigmente, 62. Mitt.: Phytochrommodellstudien. Die Konformationsbeeinflussung von 2,3-Dihydrobiliatrien-abc Derivaten durch sterische und dipolare Effekte, 1065

Falk H., Lehner F., Rothböck M. Zur regioselektiven nucleophilen Addition an 2,3-Dihydrobiliatriene-abc (Kurze Mitt.), 1359

Falk H., Müller N., Wansch, S. Zur Chemie der Pyrrolpigmente, 63. Mitt.: Phytochrommodellstudien. Das System 2,3-Dihydrobiliatrien-abc — Hexamethylphosphorsäuretriamid als Modell für gestreckte Chromophore, 1087

Falk H., s. Kratky C.

Fauß R., s. Knollmüller M.

Fischer G., s. Berner H.

Fleischer J., s. Messmer A.

Flödl H., s. Falk H.

Franek W., s. Claus P. K.

Fuhrmann F., s. Sauter F.

Fujii S., s. Böhmer V.

Fukuyama K., s. Böhmer V.

Fülöp F., s. Pintye J.

Gaál F. F., s. Jovanović L.

Gakhar H. K., Gill J. K. Pyrimido-[4,5-*e*](1,2,4)-trizolo[3,4-*b*](1,3,4)-thiadiazine-7,9(6H,8H)diones, 633

Gáplovský A., s. Tomá Š.

Getoff N., s. Hartig K. J.

Ghandour M. A., s. Gomaa E. A.

Gill J. K., s. Gakhar H. K.

Girgis K., Villars P. Description of structures in terms of polyhedra-packing, 417

Gleich P., s. Schmidt U.

Gloyna D., Wegener W., Alder L. Substituentenabhängigkeit bei der direkten *trans* → *cis*-Photoisomerisierung von Donatorsubstituierten 4'-diphenylphosphinyl-*trans*-stilbenen, 487

Goddard R., s. Mayer W.

Golob K., s. Trathnigg B.

Gomaa E. A., Ghandour M. A., Abodoma R. A. Polarographic behaviour of uranyl ion in maleic acid and maleate buffer solutions, 33

Gómez-Parra V., Sánchez F., Torres T. A new approach to 1-alkyl-1,3-dihydro-2H-benzimidazol-2-ones, 639

Greger H., Hofer O., Werner A. New amides from *Spilanthes oleracea* (Short commun.), 273

Griengl H., s. Eichberger G.

Grobelny D., s. Rajca A.

Grubmayr K., s. Falk H., Kratky C.

Gruehn R., s. Langenbach-Kuttner B.

Gsaller H., s. Falk H.

Gstach H., s. Schantl J. G.

Gutmann V., Resch G. Fragen der molekularen Systemorganisation, I. Eisen-Phenanthrolin-Komplexe, 1107

Gutmann V., s. Linert W.

Hafez E. A. A., s. Abed N. M.

Hahn H., Meindl W., Utváry K. Fluor-diazadiphosphetidine, 14. Mitt.: Nucleophile Substitutionsreaktionen von 1-Chlormethyl-2,2,4,4,4-hexa-fluor-3-methyl-1,3,2*λ*⁵,4*λ*⁵-diazadiphosphetidin und 1,3-Bis(chlormethyl)-2,2,4,4,4-hexafluor-1,3,2*λ*⁵,4*λ*⁵-diaza-diphosphetidin mit ausgewählten metallorganischen Reagentien, 157

Hahn H., Meindl W., Utváry K. Fluor-diazadiphosphetidine, 15. Mitt.: Die Reaktionen von Hexafluor-diazadi-phosphetidinen mit Fluorwasserstoff, 279

Haidl E., Krois D., Lehner H. New aspects of the protonation of biliverdins, 119

Hájíček J., Trojánek J. Synthesis of canthine/erythrinane alkaloid analogs (Short commun.), 145

Hájós G., s. Messmer A.

Halwax E., Völlenkle H. Die Kristallstruktur des Natriumorthogermanats, Na_4GeO_4 , 1367

Hamama W. S., s. Afsah E. M.

Hamed M. A., s. Mahmoud M. R.

Hammouda M., s. Afsah E. M.

Hartig K. J., Getoff N. Entwicklung und Überprüfung von Photoelektroden zur Wasserzersetzung, 453

Hase Y. Empirical correlation between the stretching force constant and the bond order for nitrogen-oxygen-systems (Short commun.), 1305

Hase Y., Temperini M. L. A. On the third fundamental band of Li^+ translational vibration in lithium hydrogen oxalate monohydrate (Short commun.), 1125

Haslinger E., Robien W. 2D-NMR of natural products, VII. Assignment of carbonyl resonances of glutathion by heteronuclear shift correlation (Short commun.), 137

Hatour F. D., s. Chetkarov M. L.

Heneis V. M., s. Buchbauer G.

Hennig K., s. Riemschneider R.

Herden H., s. Wennrich L.

Heucher R., s. Budzikiewicz H.

Hofer O., s. Greger H.

Hofmann W. K., Jeitschko W. Ternäre Palladiumpnictide der Erdalkali- und Seltenen Erdmetalle mit ThCr_2Si_2 - und CaBe_2Ge_2 -Struktur, 569

Hohenlohe-Oehringen K. s. Wörgötter E.

Hopf H., s. Mourad A. E.

Hubauer E., s. Falk H.

Hudeček M., s. Toma Š.

Ibrahim N. S., Abdelrazeq F. M., Aziz S. I., Elnagdi M. H. Nitriles in organic synthesis: the reaction of trichloroacetonitrile with active methylene reagents, 551

Ibrahim N. S., s. Abed N. M.

Ibrahim S. A., s. Mahmoud M. R.

Isaacs N. S., s. Laila A. A.

Ismail N. M., s. Mahmoud M. R.

Ittner M., s. Buchbauer G.

Jäger E., s. Claus P. K.

Jakubke H.-D., s. Könnecke A.

Jamrozik J. Synthesen und Stereochemie des 3,6,10,13-Tetrathia[6.6.1]propellans. 5. Mitt. über Propellane, 229

Jansen M., s. Wiench D. M.

Jaroniec M., s. Kosmulski M.

Jarowicki K., Kwiatkowski S. Catalytic dimerization of ketene. A simple and convenient method for the preparation of diketene and esters of acetoacetic acid (Short commun.), 141

Jeitschko W., s. Hofmann W. K.

Jovanović L., Bjelica L., Gaál F. F. A voltammetric identification of complex species in DMF solutions of iron(III) complex with salicylaldehyde S-methylthiosemicarbazone, 443

Junek H., Uray G., Kotzent A., Kastner G. Etherspaltung an Pyrimidinen mit ungewöhnlichem Halogenierungsverlauf zu isomeren Diamino-pyridon-carbonitrilen und ihre Verwendung als Kupplungskomponenten. Synthesen mit Nitrilen, 73. Mitt., 1199

Junek H., s. Fabian J., Trathnigg B.

Kalinowski M. K., s. Mizerski W., Wagner E.

Kalyanasundaram R., Navaneetham N. S., Soundararajan S. Lanthanide perchlorate complexes of 4-nitro-quinoline-1-oxide and 5-nitroiso-quinoline-2-oxide, 913

Kamel M. S., s. Mahmoud M. R.

Kapl G., s. Falk H.

Kappe T., s. Stadlbauer W.

Kassabov G. I., s. Dukov I. L.

Kastner G., s. Junek H.

Khanna R. N., s. Sharma P. K.

Klotz U. J., s. Neidlein R.

Kluger F., Pertlik F. Synthese und Strukturanalyse von $\text{Na}_3\text{SbSe}_3 \cdot 3\text{Sb}_2\text{O}_3 \cdot 0.5\text{Sb}(\text{OH})_3$, 149

Knittel D. Elektrolyse substituierter Azidozimtsäure- und Azidoacrylsäureester. Elektrolytische Untersuchungen an Vinylaziden, 3. Mitt., 1133

Knollmüller M., Kosma P. Über die Synthese von Dihydro-1,2,3,5-thatriazol-1,1-dioxiden, 1. Mitt., 1141

Knollmüller M., Kosma P. Über die Synthese von Dihydro-1,2,3,5-thatriazol-1,1-dioxiden, 2. Mitt., 1321

Knollmüller M., Fauß R. Über den Zusammenhang zwischen Struktur und Stabilität von Hydrazinsulfonamiden, 1027

Kohler F., s. Breitenfelder-Manske H.

Kolev D. N., s. Chetkarov M. L.

Koller E., Wolfbeis O. S. Syntheses and spectral properties of longwave absorbing and fluorescing substrates for the direct and continuous kinetic assay of carboxylesterases, phosphatases and sulfatases, 65

Konarski J., s. Elbanowski M.

Könnecke A., Pchalek V., Jakubke H.-D. Solubilisierende Schutzgruppen für enzymatische Peptidsynthesen. Untersuchungen mit Polyoxyethylengebundenen Substraten, 111

Kosma P., s. Knollmüller M.

Kosmulski M., Jaroniec M., Szczypa J. A generalized equation describing isotope exchange kinetics at solid-liquid interface, 305

Kostiner E., s. Rapposch M.

Kotzent A., s. Junek H.

Kowalska A., Maślankiewicz A., Syrek B., Ciepliński P. 2,6-Dialkoxy-7-methylpurines, 341

Kowalska T. Bestimmung der Aktivitätskoeffizienten im chromatographischen Modell „binärer Lösungen“ (Kurze Mitt.), 1129

Kratky C., Falk H., Zrunek U. The molecular and crystal structures of two diastereomeric 3,4-dihydropyrrromethenones, 607

Kratky C., Falk H., Grubmayr K. The crystal and molecular structures of the diastomeric (4Z)- and (4E)-3-Oxo-2,3-dihydrobiliatrienes-abc, 745

Kratky C., Falk H., Grubmayr K., Zrunek U. On the molecular structure of the phytochrome chromophore: X-Ray analysis of two 2,3-dihydrobiliatrien-abc derivatives, 761

Kratky C., s. Bernhard H., Meyle E., Reischl W.

Krejci V., s. Buchbauer G.

Krischner H. Azide mit zwei verschiedenen Metallatomen, 189

Krois D., s. Haidl E.

Krüger C., s. Mayer W.

Kurzer F., s. Allen A. A.

Kwiatkowski S., s. Jarowicki K.

Laila A. A., Issacs N. S. Crystal structure analysis of 3,4-dimethyl-2,5-dihydro-thiophen-1,1-dioxide, 933

Langenbach-Kuttner B., Roß R., Gruehn R. Nioboxidfluoride mit Blockstrukturen. Elektronenmikroskopische Durchstrahlungsaufnahmen und ihre Simulation. Beiträge zur Untersuchung anorganischer nichtstöchiometrischer Verbindungen, 29. Mitt., 1275

Langfelderová Z., s. Toma Š.

Lehner F., s. Falk H.

Lehner H., s. Haidl E.

Leib W., s. Müller-Buschbaum H.

Leonhard H., s. Bonn G.

Lillya C. P., s. Xi F.

Limtrakul J. P., Rode B. M. Solvent structures around Na^+ and Cl^- ions in water, 1377

Lin W. O., Azeredo Figueira J. A. de, Alt H. G. New multidentate potential ionophors of ether-amide type, 217

Linert W., Woronow V., Gutmann V. Mechano-elektrochemische Effekte, II. Plastische Deformation von Kupfer in wäßrigen EDTA-enthaltenden Elektrolyten, 1263

Lis S., s. Elbanowski M.

Lochyński S., s. Wawrzenyczek C.

Lomozik L., Wojciechowska A. Complexing properties of methyl and phenyl glycine derivatives in their compounds with H^+ , Ni(II), Cu(II), and Zn(II), 719

Mahmoud M. R., Hamed M. A., Kamel M. S., El-Gyar S. A. Mono- and binuclear metal complexes of arylidene-anthranilic acid Schiff bases, 1291

Mahmoud M. R., Ibrahim S. A., Ismail N. M. Characterization studies of some bi- and tetradentate bifunctional Schiff base complexes with Co(II), Ni(II), and Cu(II), 167

Makowska B., s. Elbanowski M.

Malyszko E., s. Malyszko J.

Malyszko J., Malyszko E. Study on the electroreduction of In(III) ions at gold from acidic bromide solutions by the rotating ring-disc electrode technique, 19

Mantaka-Marketou A. E., Vassilopoulos G., Nikokavouras J. Chemiluminescence in model membrane structures. Chemiluminescence of lucigenin in the presence of estrogens, 973

Marconi G., s. Beggiato G.

Marinas J. M., s. Sinisterra J. V.

Maślankiewicz A., s. Kowalska A.

Mayer W., Wilke G., Benn R., Goddard R., Krüger C. Synthese und Struktur von η^2,η^2 -Butadien-bis[η^2 -butadien-(2,2'-bipyridyl)nickel(0)]. Übergangsmetallkomplexe, VI, 879

Medinger W., s. Falk H.

Meindl W., s. Hahn H.

Merslavic M., Stanovnik B., Tišler M. Transformations of *N*-heteroarylformamidines and *N*-heteroarylformamidine oximes. New syntheses and transformations of oxazolo[4,5-*d*]pyridazines, 1447

Messmer A., Hajós G., Fleischer J., Czugler M. Direct arylation of tetrazolo[1,5-*a*]pyridine and its benzenologues (Short commun.), 1227

Meyle E., Otto H.-H., Kratky C. Darstellung und Eigenschaften von 2-Acyl-1,2-thiazetidin-1,1-dioxiden, 493

Milart P., s. *Moskal J.*

Mittelbach M. An improved and facile synthesis of 2-amino-1,1,3-tricyanopropene (Short commun.), 689

Mizerski W., Kalinowski M. K. Electronic spectrum of dibiphenylene-ethene radical anion (Short commun.), 599

Moskal J., Milart P. Conjugated Schiff bases, XIX. Cycloaddition of heterocumulenes to sterically congested 1,4-diazabutadiene 4N-oxides, 537

Mourad A. E., Raulfs F.-W., Hopf H. Charge transfer complexes of indenophanes with π -acceptors, 701

Müller A., Römer M., Römer C., Reinsch-Vogel U., Böggel H., Schimanski U. Zweikern-Komplexe des Wolframs und Molybbens mit zentraler $\{XMS_2MX\}^{2+}$ -Einheit ($X = O, S$) und S_2^{2-} - bzw. S_4^{2-} -Liganden, 711

Muller C., s. *Claret J.*

Müller J., Pfeuffer L., Pindur U. Reaktionen von elektronenreichen Heterocyclen mit Orthocarbonsäure-Derivaten, 4. Mitt.: Regioselektive Lewis-Säure-induzierte elektrophile Substitution an Methylindolen mit Orthoameisensäuretriethylester und Triethioorthoameisensäuretriethylester, 365

Müller N., s. *Falk H.*

Müller-Buschbaum H., Leib W. Über Oxocuprate, XXVI. Synthese und Struktur eines Oxohalogenocuprat(I), Sn_2CuO_2Cl , 1

Münstedt R., Wannagat U. Sila-Riechstoffe und Riechstoff-Isostere, VII. Reaktionen und Derivate der Benzylidialkylphosphinimide, 7

Münstedt R., Wannagat U. Sila-Riechstoffe und Riechstoff-Isostere, 10. Mitt.: Ein neuer Weg zu Sila- β -Jonen, 693

Münster H., s. *Budzikiewicz H.*

Mustafa M. E., s. *Abed N. M.*

Nachbaur E., Prosser P. Hel-Photoelektronenspektrum von Cl-NSO, 1385

Navaneetham N. S., s. *Kalyanasundaram R.*

Neidlein R., Klotz U. J. Synthesen, spektroskopische Eigenschaften von Alkylmercaptoalkylaminomethensulfonamiden und chemisches Reaktionsverhalten von 1,1-Bis(dimethylamino)-ethylen, 651

Neudeck H., Schlögl K., Tscheplak H. Aromatische Spirane, 12. Mitt.: Synthesen von Spiro[5,6,7,8-tetrahydrobenz[f]indan-2,2'-indan], 2,2'-Spirobi(5,6,7,8-tetrahydrobenz[f]indan) und ihren Derivaten, 661

Neudeck H., Schlögl K., Tscheplak H. Optisch aktive aromatische Spirane, 13. Mitt.: Darstellung von optisch aktiven 4,4'-disubstituierten 2,2'-Spirobi(5,6,7,8-tetrahydrobenz[f]indanen), 789

Nikokavouras J., s. *Mantaka-Marketou A. E.*

Nowotny H., s. Rapposch M.

Öhler E., El-Badawi M., Zbiral E. Ein einfacher Weg zu α -substituierten (E)-3-Oxo-1-alkenylphosphonsäure-estern, 77

Olaj O. F., Zifferer G., Rhemann H. A general formalism of deriving the pair potential of polymer chains for arbitrary interaction potentials between isolated chain segments at and close to the theta-point, 1395

Organia K.-H., Egerbacher J. Synthese von 3,3a-Dihydro-2H,5H-azeto-[2,1-b]benzo[d]1,3-oxazin-2,5-dionen, 2. Mitt., 979

Otto H.-H., s. Meyle E.

Pályi G., s. Tasi M.

Pandey O. P., Sengupta S. K., Tripathi S. C. Studies on monocyclopentadienyl titanium(IV) dithiocarbamato complexes, 431

Pavlik I., s. Tomá Š.

Pchalek V., s. Könnecke A.

Penz G., Zbiral E. 3-Oxo-2-tosyloxy-1-alkenylphosphonsäuredialkylester als Synthone zum Aufbau von Hetarylphosphonsäuredialkylestern, 1041

Perlepes S. P., Tsangaris J. M. Rhodium(III), palladium(II) and platinum(II) complexes of bis(*o*-amino-benzenesulfonyl)ethylenediamine (Short commun.), 603

Pernold W., s. Buchbauer G.

Perlitz F., s. Effenberger H., Kluger F.

Pesendorfer J., Vierhapper F. W. An improved procedure for the preparation of very pure ethanol-OD (Short commun.), 877

Peters E.-M., s. Wittmann H.

Peters K., s. Wittmann H.

Petrič A., Tišler M., Stanovník B. Ring opening reactions of triazolo- and tetrazolo-pyridopyrimidines or quinazolines with some carbon nucleophiles, 1309

Pfeuffer L., s. Müller J.

Pindur U., s. Müller J.

Pintye J., Fülöp F., Bernáth G., Sohár P. Stereochemical studies, LXXIII. Saturated heterocycles, LX. Synthesis and conformational studies of *cis* and *trans* condensed-skeleton 3-substituted 1,3-oxazine-2,4-diones, 857

Polansky O. E., Note on the topological information content of simple graphs, 211

Pöpitsch A., s. Trathnigg B.

Prossenberger P., s. Nachbaur E.

Rajca A., Grobelny D., Witek S. Cleavage of 1,3-oxathiol-2-one rings with *n*-butyllithium. A new route to alkyl thiolates (Short commun.), 1363

Ramadan A. A. T., Seada M. H., Rizkalla E. N. Metal chelates of azo-pyridazine dyes, III. Chelating tendencies of pyrubic and hippuric monohydrazone-3-hydrazino-4-benzyl-6-phenyl-pyridazine, 463

Rapposch M., Kostiner E., Wayne S. F., Nowotny H. The crystal structure of the molybdenum cementite $Mo_{12}Fe_{22}C_{10}$ (ξ -phase), 1237

Ratkovich F., s. Domonkos L.

Raulfs F.-W., s. Mowad A. E.

Reidinger R., s. Buchbauer G.

Reinsch-Vogell U., s. Müller A.

Reisch J., *Salehi-Artimani R. A.* Acetylenchemie, 2. Mitt.: Sigmatrope Umlagerungen bei der phasen-transferkatalysierten Umsetzung von 9(10H)-Acridinon mit 3-Chlor-3-methylbut-1-in (Kurze Mitt.), 1099

Reischl W., *Bernhard H.*, *Kratky C.*, *Zbiral E.* Zur Stereochemie der Vitamin D 3-Epoxide. Röntgenstrukturanalyse einer 5,6,7,8-diepoxid-verbindung, 831

Reischl W., s. Bernhard H.

Resch G., s. Gutmann V.

Rewicki D., s. Angrick M.

Rhemann H., s. Olaj O. F.

Ribó J. M., s. Claret J.

Rieder W., s. Claus P. K.

Riedl R., s. Wendelin W.

Riemschneider R., *Hennig K.* Über das 2,3,5-Triacetyltoluol (Kurze Mitt.), 873

Rizkalla E. N. s. *Ramadan A. A. T.*

Robien W., *Steindl H.* ^{13}C -NMR-spektroskopische Untersuchungen von Jodthiophenen (Kurze Mitt.), 685

Robien W., s. *Haslinger E.*

Rode B. M., s. *Limtrakul J. P.*

Römer C., s. Müller A.

Römer M., s. Müller A.

Roß R., s. *Langenbach-Kuttner B.*

Rothböck M., s. *Falk H.*

Salehi-Artimani R. A., s. *Reisch J.*

Sánchez F., s. *Gómez-Parra V.*

Sauter F., *Stanetty P.*, *Fuhrmann F.* Thiamorphinane, II., 263

Schantl J. G., *Gstach H.* Geminale Azoo- und Heteroelement-Funktionen, I: Einwirkung von Grignard-Reagentien auf 1-(4-Chlorphenylazo)-1-methyl-ethyl-isocyanat, 1051

Schantl J. G., *Gstach H.* Geminale Azoo- und Heteroelement-Funktionen, II. α -Substituierte 2-(4-Chlorphenylazo)-propan-Derivate. Oxidationsprodukte von Arylhydrazen-Verbindungen, 14. Mitt., 1329

Schimanski U., s. Müller A.

Schlögl K., s. Neudeck H.

Schmid W., s. Zbiral E.

Schmidt U., *Gleich P.* Synthese optisch aktiver 2-(Aminoalkyl)-4-thiazolcarbonsäuren aus α -Aminosäuren der gleichen Konfiguration (Kurze Mitt.), 1459

Schneider F., s. Böhmer V.

Schnering H. G. v., s. Wittmann H.

Schramm H.-W., s. Wendelin W.

Schulz G., s. Berner H.

Seada M. H., s. *Ramadan A. A. T.*

Sengupta S. K., s. *Pandey O. P.*

Serra X., s. Claret J.

Setzer A., s. *Claus P. K.*

Sharma P. K., *Khanna R. N.* Photo-Fries rearrangement: Rearrangement of benzyloxy compounds, 353

Sharma R. K., Shivahare G. C. Complexation of niobium(V) with some bis-(β -diketones), 297

Shivahare G. C., s. Sharma R. K.

Silbernagel W., s. Claus P. K.

Singh D., s. Ahluwalia V. K.

Singh P. P., Atrey K., Yadav D. S. Study of comparative Lewis-base behaviour of *p*-tolyl mercury selenocyanate and α -naphthylmercury selenocyanate, 177

Singh R. P., s. Ahluwalia V. K.

Sinisterra J. V., Marinas J. M., An unusual reaction between coumarin and diethylmalonate, catalyzed in the heterogeneous phase (Short commun.), 133

Sioda R. E., Dissolution of copper foil in aqueous solutions of $pH = 2$ (Short commun.), 49

Sisak A., s. Tasi M.

Sohár P., s. Pintye J.

Soundararajan S., s. Kalyanasundaram R.

Stadlbauer W., Kappe T. Oxidative Hydroxylierung von heterocyclischen β -Dicarbonylverbindungen, 1005

Stanetty P., s. Sauter F.

Stanovník B., s. Merslavíč M., Petrič A.

Steindl H., s. Robien W.

Sterk H., s. Wittmann H.

Stojaković D., Vasović D. Amorphous aluminosilicates containing trivalent chromium in a non-octahedral coordination environment, 581

Syrek B., s. Kowalska A.

Szczypa J., s. Kosmulski M.

Talsky C., s. Buchbauer G.

Taraz K., s. Budzikiewicz H.

Tasi M., Sisak A., Ungváry F., Pályi G. The reaction of alkoxides with dico-balt octacarbonyl: Trapping of the Co(I) intermediate in the disproportionation ("base reaction") with a hard Lewis base, 1103

Temperini M. L. A., s. Hase Y.

Tišler M., s. Merslavíč M., Petrič A.

Tomá Š., Gáplovský A., Hudeček M., Langfelderová Z. Substituent dependence of the d-d transition band in the electronic absorption spectra of arylferrocenes and the corresponding arylferricinium salts, 357

Tomá Š., Gáplovský A., Pavlik I. Electronic spectra of ferrocenyl chalcones: On the substituent dependence of the λ_{max} of the d-d transition, 479

Torres T., s. Gomez-Parra V.

Trathnigg B., Golob K., Junek H., Popitsch A. Chelatbildende Enamino-ketone, II. Synthese von symmetrischen Liganden, 323

Tripathi S. C., s. Pandey O. P.

Trojánek J., s. Hájíček J.

Tsangaris J. M., s. Perlepes S. P.

Tscheplak H., s. Neudeck H.

Ungváry F., s. Tasi M.

Upadhyay S. K., s. Awasthi A. K.

Uray G., s. Junek H.

Utváry K., s. Hahn H.

Vasović D., s. *Stojaković D.*

Vassilopoulos G., s. *Mantaka-Marketou A. E.*

Vierhapper F. W., s. *Pesendorfer J.*

Villars P., s. *Girgis K.*

Vitek R., *Buchbauer G.* Zur Synthese von *endo*-konfigurierten Isocamphanderivaten. Synthesen in der Isocamphareihe, 24. Mitt., 801

Vogl O., s. *Xi F.*

Völlenkle H., s. *Halwax E.*

Vormayr G., s. *Falk H.*

Vylel H., s. *Berner H.*

Wagner E., *Kalinowski M. K.* Equilibria of the formation of N^1 -(9-fluorylidene)-ethylene-diamine in acetonitrile. Effect of alkali metal cations, 1413

Wannagat U., *Blumenthal T.* Neue anorganische Ringsysteme, 36. Mitt.: Ein neues neungliedriges Cyclosilazansystem sowie neue Verbindungen im System der Cyclotetrasiladiazane, 557

Wannagat U., s. *Münstedt R.*

Wansch S., s. *Falk H.*

Wasgestian F., s. *Budzikiewicz H.*

Wawrzęńczyk C., *Lochyński S.* Insect growth regulators, XVI. Syntheses of juvenoids with the 3,3-dimethylcyclohexane system, 99

Wayne S. F., s. *Rapposch M.*

Wegener W., s. *Gloyna D.*

Wendelin W., *Riedl R.* Über N^1 - und N^2 -substituierte 2-Amino-5,6-dihydro 4(1*H*)-pyrimidinone. Über Heterocyclen, 79. Mitt., 237

Wendelin W., *Schramm H.-W.*, *Blasi-Rabassa A.* Über die Reaktionen von Guanidin bzw. Thioharnstoff mit $\alpha, \beta, \gamma, \delta$ -ungesättigten Ketonen. Über Heterocyclen, 80. Mitt., 385

Wennrich L., *Engewald W.*, *Herden H.* Gaschromatographische Untersuchung der Adsorptionseigenschaften von Silicalit und ZSM-5, 889

Werner A., s. *Greger H.*

Wiench D. M., *Jansen M.* Kristallstruktur und thermisches Verhalten von Tetrakaliumcyclo-tetraphosphat(V)-Dihydrat, $(KPO_4)_4 \cdot 2H_2O$, 203

Wilke G., s. *Mayer W.*

Witek S., s. *Rajca A.*

Wittmann H., s. *Ziegler E.*

Wittmann H., *Ziegler E.*, *Sterk H.*, *Peters K.*, *Peters E.-M.*, *Schnering H. G. v.* Über Reaktionen mit Betainen, 20. Mitt.: Synthese stabiler S-Ylide, 1189

Wojciechowska A., s. *Lomozik L.*

Wolfbeis O. S., s. *Koller E.*

Wörgötter E., *Hohenlohe-Oehrtingen K.* Aromatische Carbonylverbindungen aus 2-Aryloxycarbonsäureestern, 995

Woronow V., s. *Linert W.*

Wunderer H., s. *Buchbauer G.*

Wünsch E. Synthese des vermuteten Nervenwachstumsfaktor-Aktivzentrums, 505

Xi F., *Lillya C. P.*, *Bassett W., Jr.*, *Vogl O.* Head-to-head polymers, XXXII. Toward head-to-head Poly(α -methylstyrene). Synthesis of 2,3-dimethyl-2,3-diphenylbutanediol-1,4-ditosylate and 1,4-diphenyl-2,3-dimethyl-1,3-butadiene, 401

Yadav D. S., s. Singh P. P.

Zbiral E., Brandstetter H. H. Strukturelle Abwandlungen an *N*-Acetylneuraminsäure, 3. Synthese von 7-epi, 8-epi und 7,8-bis-epi-*N*-Acetylneuraminsäure. Ihr Verhalten gegenüber Cytidin-Monophosphat-Sialinsäuresynthetase, 87

Zbiral E., Schmid W. Strukturelle Abwandlungen an *N*-Acetylneuraminsäure, 4. Mitt.: Transformationen am Diethyl-dithioketal des *N*-Acetylneuraminsäure- γ -laktols, 253

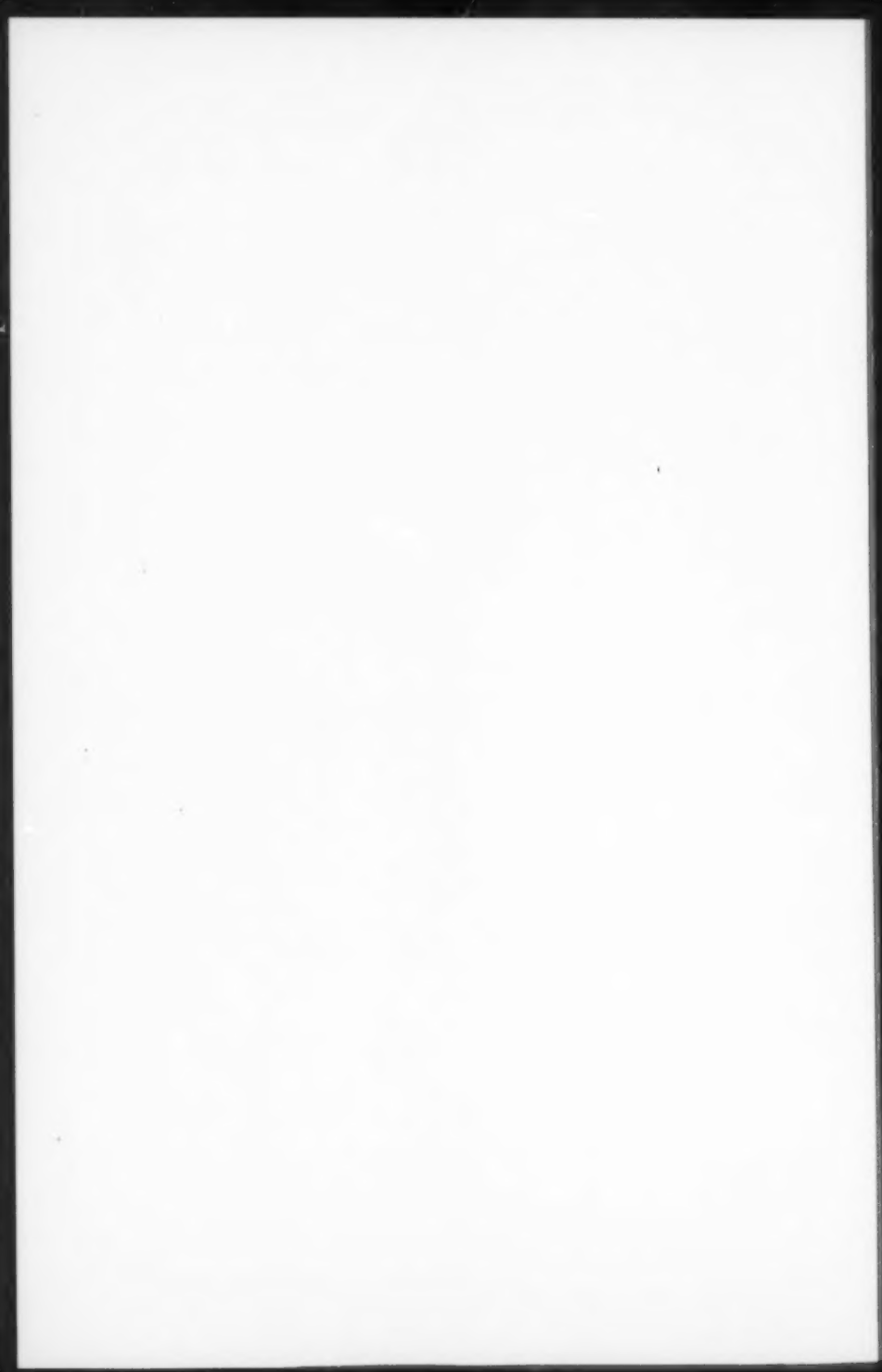
Zbiral E., s. Bernhard H., Öhler E., Penz G., Reischl W.

Ziegler E., Wittmann H. Über Reaktionen mit Betainen, 19. Mitt.: Über den Einfluß der Substituenten am kationischen Zentrum von Betainen auf die Bildungstendenz der Di trifluoracetyl-*N*-Ylide, 821

Ziegler E., s. Wittmann H.

Zifferer G., s. Olaj O. F.

Zrunek U., s. Kratky C.



Sachverzeichnis/Subject Index

Abietic acid 1345
Absorption spectra 65
Acetoacetic acid esters 141
Acetolysis of carbohydrate derivatives 87
Acetone-chloroform system 437
Acetophenones, reduction with yeast 1233
Acetylenic isobutylamides 273
N-Acetylneuraminic acid 87, 253
N-Acetylneuraminic acid-lactone 253
9(10*H*)-Acridinone alkylation 1099
Acrylic acid methylester, reactions 237
Activity coefficients 1129
Acyclic ligands 217
N-Acylation, of amino acids 377
Acylphosphonates, *Wittig* reaction 77
2-Acyl- β -sultams 493
Acyl-1,2-thiazetidin-1,1-dioxides, crystal structure 493
E- β -Acetylvinylphosphonates 77
Adsorption 889
Aldol reaction 801
Alkaline degradation 961
Alkaloid analogs 145
Alkamides 273
Alkylation 1099
Alkoxides, reaction with dicobalt octacarbonyl 1103
Alkoxy carbonylcobalt tetracarbonyls 1103
Alkylmercaptoalkylaminomethylen-sulfonamides 651
Alkynyl thiolates 1363
Ambergris fragrance compound 1345
Amide-ether ligands 217
Amides, from *Spilanthes oleracea* 273
Amidines 651
Amino acid analysis 873
Amino acids, N-acylation 377
2-(Aminoalkyl)-4-thiazole carboxylic acids 1459
 α -Aminocinnamic esters 1133

Amino-5,6-dihydro-4(1*H*)pyrimidinones 237
Aminoglyceraldehydes, *N*-substituted 645
2-Amino-1,1,3-tricyanopropene 689
Analgesics 263
Anellation, mono- and bis- 661
Antimonite-sodium-selenide 149
Apoephedrine analogue 1209
Aromatic spiranes 661
Arylation 1227
Arylazoalkyl compounds, synthesis 1329
Arylferrocenium salts 357
Arylferrocenes 357
Arylhydrazones, oxidation products 1329
Aryl-isopropyl-sulfimides 841
Aryl mercury selenocyanates 177
Aryl migration 995
2-Aryloxy carboxylic acid ester 995
N-Aryl-1,2-thiazolidines 1153
Association 119
Association constant 437
Automorphism groups 211
Aza 157, 279, 1309
Azaheterocyclic compounds, tricyclic 1309
Azeto-benzo-oxazine 979
Azides, structure of 189
Azo-pyridazine dyes 463

Baeyer-Villiger oxidation 1345
Barium hydroxide catalyst 133
Basic catalyst 133
Benzimidazol-2-ones, 1-alkyl-1,3-dihydro-2*H*- 639
Benzopyran-2-ones, 4-aryl-2*H*-1- 869
Benzylidalkylphosphonimide 7
Benzylxy-quinoline 353
Betaines 821, 1189
Bicyclo[2.2.1]heptane 801

Bicyclo[2.2.1]heptyl-*N*-methylaminoethanol derivative 1209
 Bifunctional nitrones 537
 Bilatrienes-abc 53, 745, 761, 1065, 1087
 Biliverdins 119
 Binary solutions model 1129
 2,2'-Bipyridyl, butadiene-nickel complex 879
 Bis-alkylmercaptomethyleneimides 651
 Bis(β -diketones), complexes 297
 Bis(dimethylamino)-ethylene 651
 Bis-enaminoketones 323
 Bisepoxy vitamin D₃, 5,6,7,8- 831
 Bis-indolylmethyl cations 365
 Bis(methylthio)methane-*S*-(*N*-aryl)-imides 1017
 Block structure 1275
 Bond order 1305
 Bromination 1199
 Bromination of arylhydrazones 1329
 Butadiene-nickel complex 879
 Camphenilanic acid 801
 Canthine/erythrinane alkaloid analogs 145
 Capto-dative substituted radical 995
 Carbides 1237
 Carbohydrates 961
 6,7-Carbonate, of *N*-acetylneuraminic acid derivative 253
 Carbonyldiimidazoles 857
 Carbonyl metal compounds 1103
 1,2-Carbonyl transposition 1165
 Carboxylesterases 65
 Catalytic 141
 Cathodic reduction 1133
 Cation effect 1413
 Cellobiase 1433
 Cellulobiose, alkaline degradation 961
 Cellulose complex 1433
 Chalcones, ferrocene analogs 479
 Charge-transfer complexes 311
 Charge-transfer spectra 701
 Chelating agents 323
 Chemiluminescence 973
 Chirality function 789
 Chloride ion, solvent structure around 1377
 Chlorine 1
 Chloroform-acetate system 437
 Chlorolysis 979
N-Chlorothionylimide 1385
 2-(4-Chlorophenylazo)-propane derivatives 1329
 Chromatographic resolution 789
 Chromatography, binary solutions model 1129
 Chromophore 625
 Chymotrypsin 111
 Circular dichroism 119, 789, 1065
 Claisen rearrangement 99
 Classification of structures 417
 Cobalt(II) complexes 167
 Colour and constitution 625
 Complex azides 189
 Complex carbides 1237
 Complex formation constant 167
 π -Complexes 701
 Complexing agents 1263
Compositae-Heliantheae 273
 Conductance 167
 Conductometric 431
 Condurrite-B-epoxide 1433
 Configurational changes of sialic acid 87
 Configurational correlation 789
 Conformation 607, 933, 1065, 1087, 1177
 Conformation, stretched chromophore 1087
 Coordination numbers 1377
 Coordination polyhedra 417
 Copper 1
 Copper(II) complexes 167, 719
 Copper foil 49
 Copper, mechano-electrochemical and surface properties 1263
 Copper sodium sulfide, crystal structure 921
 Corresponding states 1247
 Coumarin 133
 Crystal structure, 2-Acyl-1,2-thiazetidin-1,1-dioxides 493
 —, Azides 189
 —, η^2 , η^2 -Butadiene-bis[η^2 -butadiene(2,2'-bipyridyl)nickel(O)] 879
 —, $\text{Cu}_2\text{O}(\text{SO}_4)$, dolerophanite 927
 —, Cyclic pyrocatechine esters 1419
 —, 5,6,7,8-Diepoxy vitamin D₃ 831
 —, 2,3-Dihydrobobilatrienes-abc 745, 761
 —, 3,4-Dihydropyrrromethenones 607

- , 3,4-Dimethyl-2,5-dihydrothiophene-1,1-dioxide 933
- , Dimethylsulfonium-difluoroacetyl-methide 1189
- , Esters, cyclic 1419
- , EuPd₂Sb₂ 569
- , (KPO₃)₄·2 H₂O 203
- , Molybdenum cementite, Mo₁₂Fe₂₃C₁₀ (ξ -phase) 1237
- , Molybdenum-sulfur complexes 711
- , NaCu₅₅S₃ 921
- , Na₃SbSe₃·3 Sb₂O₃·0.5 Sb(OH)₃ 149
- , 3-Oxo-2,3-dihydrobiltriene-abc 745
- , Palladium pnictides, ternary 569
- , Sodiummorthogermanate, Na₄GeO₄ 1367
- , SrPd₂As₂ 569
- , systematics of 417
- , Tungsten-sulfur complexes 711
- , Vitamin D₃, 5,6,7,8-diepoxyde 831
- , Vitamin D₃, 5,6,7,8,10,19-tris-epoxide 1221
- Cuprite film 49
- Cyclic dimers 1419
- Cyclic esters 1419
- Cyclic monomers 1419
- Cyclic, non-carbon 157
- Cyclic pyrocatechine esters, crystal structure 1419
- Cyclic voltammetry 681
- Cyclisation with C—N or N—N bond formation 1309
- Cyclisation with C—O bond formation 1447
- Cycloaddition reaction 1141
- Cycloelimination 841
- Cyclopentadienyl 431
- Cystine peptides, unsymmetrical 505
- Decahydro-1-naphthalene-carboxylic acid derivatives 1345
- Decomposition mechanism 1027
- Dehydratation 203
- Desmethylambraoxide, synthesis 1345
- Deuterolysis 877
- α -N,N-Diacylaminocinnamic esters 1133
- Dialkyl acylphosphonates, Wittig reaction 77
- 2,6-Dialkoxy-7-methylpurines 341
- 3,5-Diaminopyrazoles 223
- Diaminopyridonecarbonitriles 1199
- 1,4-Diazabutadiene 4N-oxides 537
- Diazenes, Grignard reactions 1051
- β -Dicarbonyl compounds 1005
- Dicobalt octacarbonyl 1103
- N,N-Diethyl-N'-chlorosulfonyl-chloroformamidine 1321
- Dihydrobiltrienes-abc 53, 745, 761, 933, 1065, 1087, 1359
- Dihydrobiltrienes-abc, crystal structure 761
- Diisophora-2,7-dienes 777
- Diisophorones 777
- Diketene 141
- Dimerization 689
- Dimerization of Ketene 141
- 3,4-Dimethyl-2,5-dihydrothiophen-1,1-dioxide, crystal structure 933
- 2,3-Dimethyl-2,3-diphenylbutanediol-1,4-ditosylate 401
- 1,4-Diphenyl-2,3-dimethyl-1,3-butadiene 401
- 1,3-Dipolar cycloaddition 537
- Dipolar effects 1065
- Dissolution 49
- Disulfur complexes 711
- Dithioacetals 1017
- Dithiocarbamato complexes 431
- Di-trifluoroacetyl-N-ylide 821
- Dodecahydro-1H-naphtho[2,1-*b*]-pyranes 1345
- Dolerophanite, Cu₂O(SO₄), crystal structure 927
- Electrochemistry 19, 33, 43, 681, 1133, 1263
- Electrode-electrolyte interaction 1263
- Electrode reaction 19
- Electrolysis of azido-compounds 1133
- Electron microscopy, high resolution 1275
- Electronic wave functions and transitions 625
- Electroreduction 19
- Empirical correlation, stretching force constant-bond order 1305
- Enaminketones 323
- Enazidoesters 1133
- Endo- β -1,4-glucanase 1433
- Enones 801
- Enzymatic peptide synthesis 111

Enzyme substrates 65
 Ephedrine analogue 1209
 Epoxydiisophoranes 777
 5,6-Epoxy vitamin D₃ 831
 Equilibrium constants of association 437
 Erythrinane/canthine alkaloid analogs 145
 Esters, cyclic, crystal structure 1419
 Estrogens 973
 Ethanol-OD 877
 Ether-amide ligands 217
 Ether cleavage 1199
 Ethoxycarbonylmethylenetriphenylphosphorane 869
 Ethylene diamine 1413
 Ethylenediaminetetraacetic acid 901
 Exo-cellobiohydrolase 1433
 Exo- β -1,4-glucanase 1433

Ferricinium salts 357
 Ferrocene analogs of chalcones 479
 Ferrocenes 357, 479
 Ferrocenyl chalcones 479
 Flame AAS 49
 Fluorenone 1413
N-(9-Fluorenylidene)-ethylene-diamine 1413
 Fluorescence 901
 Fluorescence spectra 65
 Fluorodiazidophosphetidines 157, 279
 Force constant 1305
 Fragment formation, MS 525
Friedel-Crafts reaction 869
Fries-rearrangement, photo- 353
 Fused pyrazoles 223
 Fused tetrazolium salts 1227

Gas solid chromatography 889
 Gem-dimethylcyclohexane derivatives 99
 β -Glucosidase 1433
 Glutathion, C-13 137
 Glycine derivatives 719
 Graph theory 211
Grignard reaction 801
Grignard reagents 777, 1051
 Guanidines 237, 385

Halides 43
 Hammet correlation 357, 479
 Head-to-head polymers 401

Hetarylphosphonates 1041
 Heterocumulenes 537
 Heterocyclic 53, 145, 157, 223, 229, 237, 263, 279, 341, 365, 371, 385, 413, 463, 493, 525, 537, 551, 557, 607, 625, 633, 639, 677, 681, 685, 693, 745, 761, 777, 821, 851, 857, 869, 933, 939, 979, 1005, 1051, 1065, 1087, 1141, 1153, 1177, 1189, 1199, 1227, 1309, 1321, 1359, 1363, 1447, 1459

Heterocyclic (N, P) 157
 1,3-Heterodienes 537
 Heterogeneous isotope exchange 305
 Heteronuclear shift correlation 137
 Hexamethylphosphoric acid triamide 1087
 Hierarchic levels of molecules, significance 1107
 High dilution conditions 1419
 Hydration 1377
 Hydrazinesulfonamides 1027
 11,2-Hydride shift 1165
 Hydrocarbalkoxylation intermediates 1103
 Hydrolysis of sodium carboxymethyl-cellulose 1433
 Hydrothermal synthesis 921
 Hydroxybenzophenones 869
 Hydroxy heteroaromatic compounds 1005
 Hydroxylation, oxidative 1005
 Hypersensitive bands 901, 913
 Hypoxanthines 341

Image simulation 1275
 Imidazole, benz- 639
 Imidazoles, 1,1'-carbonyldi- 857
 Imine formation 1413
 Indenophanes 701
 Indium 19
 Indolo[2,3-*g*]indolizines 145
 Indolo[2,3-*a*]quinolizines 145
 Indous ion 19
 Information theory 211
 Inhibition of cellulase enzymes 1433
 Insect growth regulators 99
 Interface phenomena 1263
 Invariance of electron density at coordination center 1107
 Iodination 1199
 Iodine-p-toluidine complex 311
 Iodothiophenes, C-13-NMR 685

Ionic solvation 43
 Ionophors, ether-amide type 217
 Ir 431, 437, 591, 857, 1125
 Iron(III) complexes 443
 Iron-phenanthroline complexes 1107
 Isocamphane analogous drugs 1209
 Isocamphane derivatives 801
 Isocyanates, *Grignard* reactions 1051
 Isokinetic relationships 1107
 Isonitrilochlorides 651
N-(*O*-Isopropylidene-*D*-glycerol)-amino acids 377
 Isosteric compounds 7
 Isothioureas 651
 Isotope effects 1125
 Isotope exchange kinetics 305
 Juvenoids 99
 Ketene, dimerization 141
 Ketenedithioacetal-S-imides 413
 Ketol-isomerization 1165
 Kinetics 305, 729, 961, 1433
 Lactams, ring-size effects in the formation 145
 Lactime-lactame rearrangement, thermal 341
 Lactose 1433
 Lanthanide(III) complexes 901
 Lanthanide ions 463
 Lanthanide perchlorates hypersensitive bands 913
 Lanthanides 737
 Lennard-Jones molecules 1247
 Lewis base behaviour 177
 Lewis base, hard 1103
 Ligand parameters 789
 Ligands, tetra- and multidentate 323
 Liquid phase peptide synthesis 111
 Liquid-solid interface 305
 Lithium hydrogen oxalate monohydrate 1125
 Lithium ion translational vibration 1125
 Low-spin high spin transitions 1107
 Lucigenin 973
 Magnetic measurements 297
 Maillard reaction 645
 Maleate solution 33
 Maleic acid 33
 Malononitrile 689
 Mannich bases 851
 Mass spectrometry 525
 Mechanism 729, 1027, 1433
 Mechano-electrochemical and surface properties of copper 1263
 Membrane permeation 323
 Membranes 973
 Mercury selenocyanates 177
 Metal complexes 297, 323, 431, 443, 463, 525, 603, 719, 879, 901, 1107, 1291
 Metallocenes 357, 479
 Methanol-OD 877
 Methylene reagents 551
 1,2-Migration 1153
 MINDO/3 calculations 371
 Mixed solvent method 437
 MNDO method 1305
 Molecular sieves 889
 Molecular system organization 1107
 Molybdenum cementite, crystal structure 1237
 Molybdenum complexes 711
Monte-Carlo simulation 1377
 Morphinane 263
Mott-Schottky plots, frequency dependence 453
 Multidentate ligands 217
 Multi-step electrode reaction 19
 Narcotic analgesics 263
 $\text{Na}_2\text{SbSe}_3 \cdot 3\text{Sb}_2\text{O}_3 \cdot 0.5\text{Sb}(\text{OH})_3$ 149
 Neophyll-like radical rearrangement 995
 Nerve growth factor 505
 Nickel-butadiene complex 879
 Nickel(II) complexes 167, 719
 Niobium(V) complexes 297
 Niobium oxide fluoride 1275
 Nitriles 551
 Nitrilotriacetic acid 901
 Nitrogen-oxygen system, stretching force constant 1305
 5-Nitroisoquinoline-1-oxide 913
 Nitrones, bifunctional 537
 4-Nitroquinoline-1-oxide 913
 NMR, C-13 53, 137, 273, 401, 413, 685, 777, 857, 1087, 1177
 —, N-15 1087, 1177
 Non-carbon, cyclic 157
 Nucleophilic addition 1359

Nucleophilic displacement 401
 Nucleophilic displacement of arylazo-alkyl bromide 1329
 Nucleophilic substitution reactions of the N—CH₂Cl group 157

Optical active 2-(aminoalkyl)-4-thiazole carboxylic acids 1459
 Optical activity 119
 Organometallic 357, 479, 1103
 Ortho-formylation 1017
 Osmylation, regioselective 1345
 Oxadiazolidinones 537
 Oxathiol-2-ones 1363
 Oxazin-2,5-dione, Dihydro-azeto-benzo- 979
 Oxazine, (2*R*)-1-oxo-2-methyl- 677
 1,3-Oxazine-2,4-diones 857
 Oxazole-2,4-diones 1005
 Oxazolo[4,5-*d*]pyridazines 1447
 Oxidation 729
 Oxidative hydroxylation 1005
 Oximoacetone 1209
 Oxirane cleavage by *Grignard* reagents 777
 (E)-3-Oxo-1-alkenylphosphonates 77
 Oxo croconic acid bisamide 625
 Oxocuprates 1
 3-Oxo-2,3-dihydrobifluorene-abc, crystal structure 745
 Oxohalogenocuprate(I) 1
 (2*R*)-1-Oxo-2-methyl-oxazine 677
 3-Oxo-2-tosyloxy-1-alkenylphosphonates 1041
 Oxygen 1

Pair potential of polymer chains 1395
 Pentapyrrines 1177
 Peptides 137
 Peptide synthesis 111, 505
 Periodate cleavage 1345
 Permanganate oxidation 873
 Phase-transfer catalysis 1099
 Phenanthrolin-iron complexes 1107
 Phenols, polysubstituted 551
 Phenonium rearrangement 401
 Phenyl dibenzoates 353
 (S)-1-Phenylethanol 1233
 Phospha 157, 279
 Phosphatases 65
 Phosphinimides 7
 Phosphonates 1041

Photoaddition to enones 1165
 Photoconversion "outer complex"—"inner complex" 311
 Photoelectrochemical water splitting 453
 Photoelectrodes for water splitting 453
 Photoelectron spectrum of Cl—NSO 1385
 Photo-Fries rearrangement 353
 Photoisomerization, *trans-cis* 487
 Phthalocyanines 525
 Phytochrome models 53, 607, 745, 761, 933, 1065, 1087
 Pictet-Spengler reaction 145, 851
pK_a values 371
 Plastic deformation of copper 1263
 Pleurotulins 1165
 Polarography 33, 43, 681, 1413
 Polycrystalline *n*-TiO₂ photoanodes 453
 Polycyclic compounds 229
 Polyhedra packing model 417
 Polymer pair distribution function 1395
 Polymer pair potential 1395
 Polymers 401
 Poly(*o*-methylstyrene) 401
 Polyoxyethylene 111
 Polysulfido complexes 711
 Polythioanions 711
 Porphyrins 525
 Potassium-cyclo-tetraphosphate(V) dihydrate 203
 PPP-calculations 625, 939
 Preconcentration 889
 Propellanes 229
 Protonated biliverdins 119
 Pseudooxo croconic acid bisamide 625
 Purines 341
 Pyrazoles 223, 551
 N-Pyridazin-5-ylformamidines and -formamide oximes 1447
 Pyridines, basicity 371
 Pyridines, substituted 1309
 Pyrimidine-triones, 5-Hydroxy-2,4,6-1005
 Pyrimidinones 237
 Pyrimido[4,5-*e*](1,2,4)-triazolo-[3,4-*b*](1,3,4)-thiadiazine 633
 Pyrolysis 525
 Pyrrole pigments 53, 119, 607, 681, 745, 761, 939, 1065, 1087, 1177, 1359

Pyrroles 551
 Pyrromethenones 681

Quinazolines 1309
 Quinoline-2,4-diones, 3-hydroxy- 1005

Reactions with SO_2F_2 1321
 Redox potentials 1263
 Reduction 19, 1133, 1233
 Reductive dehydroxylation 1345
 Regioselective osmylation 1345
 Regioselectivity 1359
 Rest potential 49
 Reversed phase medium pressure liquid chromatography 273
 Ring opening of oxazolo[4,5-*d*]-pyridazines 1447
 Ring opening reactions 1309
 Rotating ring-disc electrode 19
 Ruthenium(III) catalyzed 729

Salicylaldehyde *S*-methylthiosemicarbazone 443
 Schiff base complexes 167, 1291
 Schiff bases 537
 Second virial coefficient 1247
 Selenide, sodium-antimonite 149
 Selenocyanates, aryl mercury 177
 S_H^2 reaction
 Sialic acid, configurational changes 87
 SICD 119
 Sigmatropic rearrangement 1017, 1099
 1,3-Sigmatropic shifts 341
 Silacyclohexanon-2 693
 Sila- β -ionone 693
 Sila-perfumes 7, 693
 Silicalit 889
 Silica molecular sieves 889
 Silver oxide 979
 Silver tetrafluoroborate 979
 Silylation 253
 Sympathomimetics 1209
 Smell, theory of 7
 Sodium-antimonite-selenide 149
 Sodium carboxymethylcellulose, hydrolysis of 1433
 Sodium chloride solution 1377
 Sodium copper sulfide, crystal structure 921
 Sodium ion, solvent structure around 1377

Sodium orthogermanate, Na_4GeO_4 , crystal structure 1367
 Solubilizing protective groups 111
 Solution structure 1377
 Solvent extraction 737
 Solvent structure 43
 Specific retention volumes 889
Spilanthes oleracea 273
 Spiranes 229
 Spiranes, aromatic 661
 Spiranes, optically active 789
 Spiro-benzof[*f*]indanes 661
 2,2'-Spirobiindanes 661
 Spirobi(tetrahydrobenz[*f*]indanes) 789
 Spirocyclic 1,2,3,4-tetrahydro-2-carbo-lines 851
 $\text{Sr}_2\text{CoO}_2\text{Cl}$ 1
 Stability constants 463
 Statistical mechanics and thermodynamics of polymer solutions 1395
 Stereochemistry 229, 677, 831, 857, 1233, 1359, 1459
 Stereoisomers 401
 Stereoselective reduction 1233
 Stilbenes 487
 Stretched chromophore conformation 1087
 Stretching vibration, $\text{C}=\text{O}$ 437
 Strontium 1
 Structure-stability relationship 1027
 Substituent influence 487
 Sulfatases 65
 Sulfenamides 841
 Sulfide, sodium-copper-, crystal structure 921
 Sulfimides 413, 841, 1017, 1153
 Sultams 493
 Surface properties of copper 1263
 Synthesis of arylazoalkyl compounds 1329
 Systematics of crystal structure 417

Tautomerism 53
 Temperature effect on extraction 737
 Tetraethylorthosilicate 877
 5,6,7,8-Tetrahydrobenz[*f*]indanes 661
 Tetramethylethylenediamine, catalytic action of 141
 3,6,10,13-
 Tetraphia[6.6.1]propellanes 229
 Tetrazolium salts 1227

Tetrazolo[1,5-*a*]pyridine 1227
 Tetrazolo-pyridopyrimidines 1309
 Thenoyletrifluoroacetone 737
 Thermal behaviour 203
 Thermal cyclisation 639
 Thermal lactime-lactame rearrangement 341
 Thermal ring enlargement 1153
 Thermodynamics and statistical mechanics of polymer solutions 1395
 Thermolysis 841
 Theta-systems 1395
 Thiamorphinanes 263
 Thiatriazol-1,1-dioxides, Dihydro-1,2,3,5- 1141, 1321
 Thiazolidines, *N*-aryl-1,2- 1153
 Thickness and efficiency of TiO_2 -films 453
 Thiehan-1-*N*-arylimides 1153
 Thiophenes, condensed 263
 Thiophenes, iodo- 685
 Thioureas 385
 Three-center Lennard-Jones molecules 1247
 Titanium(IV) complexes 431
 Titanium oxide 453
 Topological information content 211
 Transition dipole moment method 901
 Transition metals, complexes 323, 463
 2,3,5-Triacetyltoluene 873
 1,2,4-Triazolidin-3-ones 1051
 Trichloroacetonitrile 551
 Tricyclo[7.3.1.0]tridecanes 777
 Trifluoroacetyl-*S*-methylides 1189
 Trisepoxide of vitamin D₃ 1221
 Tris-indolylmethanes 365
 Tungsten complexes 711
 Uranyl ion 33
 Uv-vis 65, 357, 479, 581, 599, 625, 701, 933
 Vibrational spectra 1125
 Virial coefficient 1247
 Vitamin D₃ epoxides 831
 Vitamin D₃ trisepoxide 1221
 Voltammetric 443, 681
 Water splitting 453
 Wittig reaction 77, 869
 Xanthines 341
 X-ray, s. Crystal structure
 Yeast, reduction with 1233
 Zinc(II) complexes 719
 ZSM-5 889
 Zwitter ion, amine-phosphoruspenta-fluoride-adducts 279

